

# Коротко о быстром поиске кратчайших путей в невзвешенном динамическом графе по его проекциям

В.А. Мелентьев

On the quick search for the shortest paths in an unweighted dynamic graph by its projections in brief

V.A. Melent'ev

Впервые предложены: способ представления проекций графа в памяти компьютера и основанное на нем описание быстрого поиска кратчайших путей в невзвешенных динамических графах. Пространственная сложность описания проекции не превышает  $(d + 1) \cdot n$  слов, где  $d$  — диаметр, а  $n$  — число вершин графа. Временная сложность поиска одного кратчайшего пути между двумя вершинами не превышает  $d$  шагов с длительностью элементарного времени выборки машинного слова. Решение может найти применение в критичных к временным задержкам протоколах маршрутизации компьютерных сетей и суперкомпьютеров.

Ключевые слова: невзвешенный граф, проекция графа, путевая таблица, кратчайший путь, временная и пространственная сложности поиска

Здесь мы ограничимся двумя вариантами невзвешенного графа: неориентированный (все ребра двунаправленны) и ориентированный граф с наличием однонаправленных дуг. В обоих вариантах следует найти путь минимальной длины между двумя заданными вершинами. Известные способы нахождения такого пути основаны, как правило, на двух традиционных способах представления графов в памяти компьютера: на наборе списков смежных вершин, дающем более компактное представление для разреженных (sparse) графов и на матрице смежности для плотных (dense) графов. Как для неориентированных так и для ориентированных графов представление графа  $G(V, E)$  в виде списков требует объема памяти, равного  $\Theta(n + m)$ , где  $n = |V|$ ,  $m = |E|$ . Матрице смежности графа требуется  $\Theta(n^2)$  памяти независимо от количества его ребер и дуг [1]. Используемое здесь проективное описание впервые предложено и развито в работах [2-4], — там же можно достаточно подробно ознакомиться со свойствами проекций графа и их обоснованиями. Использование такого описания в топологическом моделировании параллельных систем [5], в оценках топологической совместимости параллельных задач и систем [6], в детерминированном синтезе релевантных заданным свойствам топологий вычислительных систем [7] дополняют его. Однако, ни в одной из этих работ до сих пор не рассматривались способы представления проекций в памяти компьютера. По-видимому, такие формы могут быть различными и зависят от решаемых с помощью проекций проблем.

Для решения проблемы быстрого поиска здесь предлагается описание проекции в виде таблицы с числом столбцов, равным числу вершин  $n$ , и числом строк, равным номеру уровня проекции  $l_{full}$ , на котором достигается ее вершинная полнота<sup>1</sup>. Уровни проекции последовательно пронумерованы снизу-вверх от нулевого, на котором расположена ракурсная вершина проекции, она же — ее основание, или вершина-источник  $s$  (source), из которой необходимо найти кратчайшие пути в другую вершину  $t$  (terminal) графа.

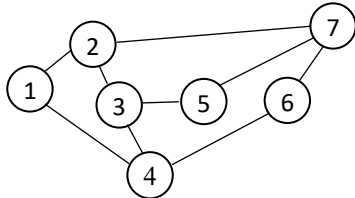
Заполнение таблицы (назовем ее путевой) начинаем со строки под номером, равным номеру верхнего уровня проекции, для этого в номера ячеек этой строки, соответствующие вершинам этого уровня, записываем номера порождающих их вершин нижерасположенного уровня. Аналогично поступаем с остальными строками таблицы и уровнями проекции вплоть до первой строки и первого уровня. Заполнение путевой таблицы можно проводить и в обратном порядке, начав с первой строки и первого уровня проекции и закончив последней строкой (последним уровнем проекции) — как будет удобно, разницы нет. Добавим к полученной таблице строку, обозначив ее для определенности как нулевую<sup>2</sup> (в таком случае ни одна из вершин графа не должна иметь такой номер), выделим ее серым цветом в знак того, что она в отличие от прочих строк несет в себе

<sup>1</sup> Проекция считается вершинно-полной, если в ней перечислены все вершины графа.

<sup>2</sup> Не отождествлять ее с нулевым уровнем проекции

информацию только о длине пути. Заполним эту строку следующим образом: в ячейку под номером ракурсной вершины  $s$  (вершины-источника), запишем 0 — она расположена на нулевом уровне, и ее расстояние до самой себя равно нулю. В остальные ячейки этой строки поместим номера уровней, пересечение которых с соответствующими этим ячейкам столбцами не является пустым, уровни при этом записываем в порядке их возрастания. Тогда цифры в каждой ячейке нулевой строки указывают на длины путей от вершины-источника до вершины с номером этой ячейки.

Продemonстрируем вышесказанное примерами неориентированного и ориентированного графов, показанных на рисунках 1 и 2 и соответствующих им таблицах 1а, 1б, 2а, 2б. В целях лучшего восприятия для каждого графа приведены три проекции и соответствующие им таблицы.



а)  $P(1) = 1^{(2^{(3^{(4,5)}, 7^{(5,6)}), 4^{(3^{(2,5)}, 6^{(7)})})})}$ ,

б)  $P(3) = 3^{(2^{(1,7)}, 4^{(1,6)}, 5^{(7)})}$ ,

в)  $P(5) = 5^{(3^{(2^{(1,7)}, 4^{(1,6)}), 7^{(2^{(1,3)}, 6^{(4)})})})}$ .

Рис. 1 Неориентированный невзвешенный граф и его проекции (а, б) из вершин 1 и 3

Таблица 1а маршрутизации графа рис. 1 из вершины 1

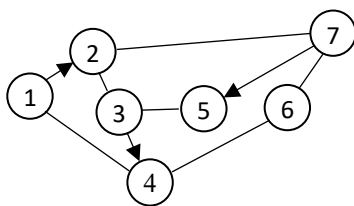
	1	2	3	4	5	6	7
3		3		3	3,7	7	6
2			2,4			4	2
1		1		1			
0	0	1,3	2	1,3	3	2,3	2,3

Таблица 1б маршрутизации графа рис. 1 из вершины 3

	1	2	3	4	5	6	7
2	2,4					4	2,5
1		3		3	3		
0	2	1	0	1	1	2	2

Таблица 1в маршрутизации графа рис. 1 из вершины 5

	1	2	3	4	5	6	7
3	2,4		2	6		4	2
2			3,7			7	
1				5			5
0	3	2	1,3	2,3	0	2,3	1,3



а)  $P(1) = 1^{(2^{(3^{(4,5)}, 7^{(5,6)}), 4^{(6^{(7)})})})}$ ,

б)  $P(3) = 3^{(2^{(7)}, 4^{(1,6)}, 5)}$ ,

в)  $P(5) = 5^{(3^{(2^{(7)}, 4^{(1,6)})})}$ .

Рис. 2 Ориентированный невзвешенный граф и его проекции (а, б) из вершин 1 и 3

Таблица 2а маршрутизации графа рис. 2 из вершины 1

	1	2	3	4	5	6	7
3				3	3,7	7	6
2			2			4	2
1		1		1			
0	0	1	2	1,3	3	2,3	2,3

Таблица 2б маршрутизации графа рис. 2 из вершины 3

	1	2	3	4	5	6	7
2	4					4	2
1		3		3	3		
0	2	1	0	1	1	2	2

Таблица 2в маршрутизации графа рис. 2 из вершины 5

	1	2	3	4	5	6	7
3	4					4	2

2		3		3			
1			5				
0	3	2	1	2	0	3	3

Использование полученных из проекций графа таблиц позволяет достаточно просто выбрать кратчайшие из заданных этими таблицами путей, причем наличие или отсутствие в графе ориентированных ребер (дуг) не меняет процедуру их получения.

Итак, необходимо получить кратчайший путь из вершины  $s$  в вершину  $t$  в некотором невзвешенном динамическом графе  $G(V,E)$ , его проекции  $P(v_i)$  и диаметр –  $d(G)$  соответствуют состоянию системы на момент поиска. В [8] можно ознакомиться с формальными процедурами актуализации проекций графа.

Как показано выше, полученная из проекции  $P(s)$  путевая таблица содержит  $d+1$  строк и  $n$  столбцов, т. е. пространственная сложность поиска кратчайшего пути из вершины  $s$  в любую другую вершину графа не превысит  $O((d+1)n)$ . Заметим, что кратчайших путей может быть несколько и для поиска одного из них достаточно всего одного элемента в определяющих этот путь ячейках, однако в целях сохранения возможности адаптивного поиска путей, учитывающего динамику изменения состояния системы, описываемой исследуемым графом, считаем, что ячейки могут содержать в себе динамически упорядоченные по приоритету множества элементов, что позволит выбирать один из наиболее актуальных на текущий момент кратчайших путей. Если же ячейка таблицы пуста, то соответствующая ей вершина не входит в состав множества искомым кратчайших путей.

Суть поиска состоит в следующем: первый элемент  $t$ -й ячейки нулевой строки определяет длину  $l(s,t)$  кратчайшего пути и равен номеру наименьшего уровня проекции  $P(s)$ , содержащего вершину  $t$ . Выборка первого элемента из  $t$ -й ячейки  $l$ -й строки определяет вершину  $v_{l-1}$ , смежную вершине  $t$  и расположенную от вершины  $s$  на расстоянии  $l-1$ . Аналогично определяются и все остальные вершины искомого пути вплоть до строки  $l=2$ , пересечение которой со столбцом, соответствующим определенной на предыдущем шаге вершине, неизбежно укажет на вершину  $s$ . Т. е. число таких шагов равно уменьшенной на единицу длине кратчайшего пути. Добавив к этому числу шаг выборки длины пути из нулевой строки таблицы, получим, что временная сложность поиска одного кратчайшего пути между двумя вершинами в графе не превысит его диаметра  $O(d)$ , и учитывая, что каждый из  $d$  шагов, по сути, элементарен и заключается лишь в выборке содержимого ячейки путевой таблицы, процесс этот быстротечен.

Изложенная выше последовательность действий по определению путей  $R(s,t)$  из вершины 1 в вершину 5 и из 5 в 1 продемонстрирована в таблицах 1а и 1в — для неориентированного (рис. 1) графа, и в таблицах 2а и 2в — для ориентированного (рис. 2) графа. Штриховая линии и ее направление указывают на начальную и конечную вершины искомого кратчайшего пути. Для рис. 1 получены пути  $R(1,5) = (1, 2, 3, 5)$  и  $R(5,1) = (5, 3, 2, 1)$ , причем прямой путь  $R(1,5)$  здесь равен обратному  $R^{-1}(5,1)$ . В ориентированном графе рис. 2 такого совпадения нет:  $R(1,5) = (1, 2, 3, 5)$ ,  $R(5,1) = (5, 3, 4, 1)$ , и  $R(1,5) \neq R^{-1}(5,1)$ .

Сочетание презентованного здесь представления проекций графа в памяти, например, сетевых коммутаторов (маршрутизаторов), основанного на этом представлении поиска, и элементарность выполняемых при поиске операций должно существенно снизить латентность интерконнекта компьютерных сетей и суперкомпьютеров. Развернутое изложение представленного материала будет включать в себя и взвешенные динамические графы.

## REFERENCES:

1. Кормен Томас Х. и др. Алгоритмы: построение и анализ, 3-е изд.: Пер. с англ. – М. ООО "И.Д. Вильямс": 2013. – 1328 с. (Cormen T. H. et al. Introduction to algorithms third edition //USA, MIT Press. – 2009. – 1312 pp. ISBN: 978-5-8459-0857-5)
2. В. А. Мелентьев Скобочная форма описания графов и ее использование в структурных исследованиях живучих вычислительных систем //Автометрия. – 2000. – Т. 38. – №. 4. – С. 36-52. (Melentiev V. A. The bracket form of graph description and its use in structural investigation of robust computer systems //Optoelectronics instrumentation and data processing. – 2000. – №. 4. – С. 34-47)

3. Melent'ev V. A. The bracket Pattern of a Graph //The 6th International Conference on Pattern Recognition and Image Analysis: New Information Technologies, PRIA-6-2002. – 2002. – С. 57-61.
4. В. А. Мелентьев Формальные основы скобочных образов в теории графов //Труды Второй Междунар. конф. Параллельные вычисления и задачи управления РАСО. – 2004. – С. 694-706. (Melent'ev V. A. The formal rudiments of a bracket patterns' in graph theory //Proceedings of the II International Conference" Parallel Computations and Control Problems" PACO. – 2004. – С. 694-706.)
5. V.A. Melent'ev Author's approach to the topological modeling of parallel computing systems // Journal of Mechanics of Continua and Mathematical Sciences. – 2020. –Special Issue, No.-8. – pp. 224-237. Doi: 10.26782/jmcms.spl.8/2020.04.00017
6. Zadorozhny A. F., Melent'ev V. A. On the topological compatibility of parallel tasks and computing systems //International Journal of Modern Physics C. – 2022. – Т. 33. – №. 03. – С. 2250040. Doi: 10.1142/S0129183122500401
7. Melent'ev, V.A. Formal method for the synthesis of optimal topologies of computing systems based on the projective description of graphs. J Supercomput (2022). Doi: 10.1007/s11227-022-04421-7
8. В. А. Мелентьев Актуализация описаний и реконфигурация отказоустойчивых систем // Труды III Международной конференции «Параллельные вычисления и задачи управления» РАСО'2006 памяти И.В. Прангишвили: Институт проблем управления им. В.А. Трапезникова РАН, Москва, Россия, 2006, С. 785-800. (V.A. Melent'ev Descriptions updating and reconfiguration of the fault-tolerant systems / Proceedings of the third international conference “Parallel Computations and Control Problems” Moscow, October 2-4, 2006. P. 785-800)